

ผลของสารสกัดกระเทียมต่อระดับอินสุลิน ระดับไขมันและไลโปโปรตีนในซีรัม
การทำงานของหัวใจ โครงสร้างของหลอดเลือดแดงโคโรนารี และโปรตีนในปัสสาวะ
ในหนูที่ทำให้เป็นเบาหวาน

ร้อยตำรวจเอกหญิง ศรารณีย์ เตวิทย์



วิทยานิพนธ์นี้เป็นส่วนหนึ่งของการศึกษาตามหลักสูตรปริญญาวิทยาศาสตรมหาบัณฑิต

สหสาขาเสรีวิทยา

บัณฑิตวิทยาลัย จุฬาลงกรณ์มหาวิทยาลัย

ปีการศึกษา พ.ศ. 2539

ISBN 974-636-402-2

ลิขสิทธิ์ของบัณฑิตวิทยาลัย จุฬาลงกรณ์มหาวิทยาลัย

EFFECTS OF GARLIC EXTRACT ON SERUM INSULIN,
LIPID PROFILES AND LIPOPROTEIN, CARDIAC FUNCTIONS,
CORONARY ARTERY STRUCTURES AND PROTEIN IN URINE
IN INDUCED DIABETIC RATS

POLICE CAPTAIN SARAWANEE TEVIT

A Thesis Submitted in Partial Fulfillment of the Requirements

for the Degree of Master of Science

Interdepartment of Physiology

Graduate School

Chulalongkorn University

Academic Year 1996

ISBN 974-636-402-2

Thesis Title Effects of Garlic Extract on Serum Insulin, Lipid Profiles and Lipoprotein, Cardiac Function, Coronary Artery Structures and Protein in Urine in Induced Diabetic Rats.

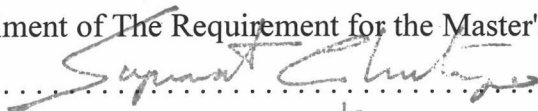
By Police Captain Sarawanee Tevit

Department Interdepartment of Physiology

Thesis Advisor Assistant Professor Suthiluk Patumraj, Ph.D.

Professor Vira Kasantikul, M.D.

Accepted by the Graduate School, Chulalongkorn University in Partial Fulfillment of The Requirement for the Master's Degree.



(Professor Supawat Chutivong, M.D.)

Dean of Faculty of Medicine

Acting Dean of Graduate School

Thesis Committee



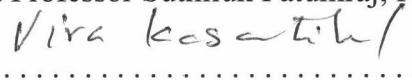
(Professor Bungorn Chomdej, M.D., Ph.D.)

Chairman



(Assistant Professor Suthiluk Patumraj, Ph.D.)

Thesis Advisor



(Professor Vira Kasantikul, M.D.)

Thesis Co-Advisor



(Associate Professor Duangnarumon Prachankhadee, Ph.D.)

Member



(Assistant Professor Choogiart Sucanthapree, Ph.D.)

Member



พิมพ์ต้นฉบับบทคัดย่อวิทยานิพนธ์ภายในกรอบสี่เหลี่ยมนี้เพียงแผ่นเดียว

ศราวณีย์ เติวิทย์ , ร้อยตำรวจเอกหญิง : ผลของสารสกัดกระเทียมต่อระดับอินซูลิน ระดับไขมันและไลโปโปรตีนในซีรัม การทำงานของหัวใจ โครงสร้างของหลอดเลือดแดงโคโรนารี และ โปรตีนในปัสสาวะในหนูที่ทำให้เป็นเบาหวาน (EFFECTS OF GARLIC EXTRACT ON SERUM INSULIN, LIPID PROFILES AND LIPOPROTEIN, CARDIAC FUNCTIONS, CORONARY ARTERY STRUCTURES AND PROTEIN IN URINE IN INDUCED DIABETIC RATS) อาจารย์ที่ปรึกษาวิทยานิพนธ์ : ศศ.ดร. สุทธิลักษณ์ ปทุมราช, อาจารย์ที่ปรึกษาวิทยานิพนธ์ร่วม : ศ.นพ. วีระ กสานติกุล 98 หน้า ISBN 974-636-402-2

การศึกษานี้มีวัตถุประสงค์เพื่อทดสอบผลของสารสกัดจากกระเทียมต่อการเปลี่ยนแปลงของระดับอินซูลิน ระดับไขมันและไลโปโปรตีนในซีรัม รวมทั้งการทำงานของหัวใจ โครงสร้างของหลอดเลือดแดงโคโรนารีและโปรตีนในปัสสาวะ ของหนูที่ทำให้เป็นเบาหวานด้วยสเตรปโตโซโตซินขนาด 70 มิลลิกรัมต่อน้ำหนักตัว 1 กิโลกรัมเข้าทางช่องท้องครั้งเดียว เปรียบเทียบฤทธิ์ในการลดระดับน้ำตาลในเลือดและผลต่ออินซูลินระหว่างกลุ่มหนูเบาหวานที่ได้รับการป้อนสารสกัดกระเทียมในขนาด 100 มิลลิกรัมต่อน้ำหนักตัว 1 กิโลกรัมต่อวันทางปากทุกวัน กับกลุ่มหนูเบาหวานที่ได้รับการป้อนยาทอลบิวตาไมด์ในขนาด 0.25 กรัมต่อน้ำหนักตัว 1 กิโลกรัมต่อวันทางปากทุกวัน

ผลการทดลองแสดงว่าในทุกช่วงระยะเวลาที่ทำการศึกษาคือ 8, 16 และ 20 สัปดาห์ หลังการฉีดสเตรปโตโซโตซิน ฤทธิ์ในการลดระดับน้ำตาลในเลือดของสารสกัดกระเทียมเท่ากับ 74.22, 90.23 และ 93.27 เปอร์เซ็นต์ของฤทธิ์ของยาทอลบิวตาไมด์ ในขณะที่ระดับของอินซูลินในซีรัมเพิ่มขึ้นเท่ากับ 37.03, 42.16 และ 62.66 เปอร์เซ็นต์ของฤทธิ์ของยาทอลบิวตาไมด์ นอกจากนี้ระดับโคเลสเตอรอลและไตรกลีเซอรอลในซีรัมของกลุ่มหนูเบาหวานที่ได้รับการสารสกัดกระเทียมต่ำกว่า ในขณะที่ระดับไลโปโปรตีนที่มีความหนาแน่นสูงในซีรัมสูงกว่ากลุ่มหนูเบาหวาน ยิ่งกว่านั้นกระเทียมสามารถลดความคิดปกติการทำงานของหัวใจ โดยพบว่าค่าความดันเลือดลดลง อัตราการบีบตัวของหัวใจ อัตราการไหลเวียนของเลือดในหลอดเลือดเอออร์ตา อัตราการไหลเวียนของเลือดในหลอดเลือดโคโรนารีมากกว่ากลุ่มหนูเบาหวาน แรงหดตัวของหัวใจห้องล่างซ้ายจะมากกว่ากลุ่มหนูเบาหวานอย่างมีนัยสำคัญทางสถิติในสัปดาห์ที่ 16 และ 20 หลังการฉีดสเตรปโตโซโตซิน อย่างไรก็ตามสารสกัดกระเทียมสามารถลดปริมาณโปรตีนในปัสสาวะแต่ไม่มีความแตกต่างอย่างมีนัยสำคัญทางสถิติทุกช่วงระยะเวลาที่ทำการศึกษา การตรวจลอบรูปร่างลักษณะของหลอดเลือดโดยกล้องสแกนนิ่งและทรานสมิซันอิเล็กตรอนไมโครสโคป แสดงให้เห็นว่าผนังหลอดเลือดแดงโคโรนารีและหลอดเลือดแดงรองของกลุ่มหนูที่ได้รับการสารสกัดกระเทียมจะเรียบกว่ากลุ่มหนูเบาหวาน ยิ่งกว่านั้นความหนาของผนังหลอดเลือดแดงและเบสเมมเบรนของหลอดเลือดฝอยในกลุ่มหนูที่ได้รับการสารสกัดกระเทียมจะบางกว่ากลุ่มหนูเบาหวาน ผลการทดลองนี้แสดงให้เห็นว่าสารสกัดกระเทียมสามารถเป็นสารที่มีประโยชน์สำหรับการป้องกันหรือทำให้เกิดโรคแทรกซ้อนของระบบหัวใจและหลอดเลือดในภาวะเบาหวานซ้าลงได้

ภาควิชา ศันสาวิชา
 สาขาวิชา ศิริวิทยา
 ปีการศึกษา ๒๕๖๖

ลายมือชื่อนิติ ศศอ.น.อ. ศราวณีย์ เติวิทย์
 ลายมือชื่ออาจารย์ที่ปรึกษา ศศ.ดร.สุทธิลักษณ์ ปทุมราช
 ลายมือชื่ออาจารย์ที่ปรึกษาร่วม ศ.นพ.วีระ กสานติกุล

##C645708 : MAJOR PHYSIOLOGY

KEY WORD: GARLIC EXTRACT / INSULIN / LIPIDS / LIPOPROTEIN / CARDIAC FUNCTIONS / PROTEINURIA / DIABETES

SARAWANEE TEVIT, POLICE CAPTAIN. EFFECTS OF GARLIC EXTRACT ON SERUM INSULIN, LIPID PROFILES AND LIPOPROTEIN, CARDIAC FUNCTIONS, CORONARY ARTERY STRUCTURES AND PROTEIN IN URINE IN INDUCED DIABETIC RATS.

ADVISOR : ASSIST.PROF.SUTHILUK PATUMRAJ, Ph.D., THESIS CO-ADVISOR : PROF.VIRA KASANTIKUL, M.D. 98 pp. ISBN 974-636-402-2.

The objective is to study the effects of garlic extract on serum insulin, serum lipid profiles and lipoprotein including cardiac functions, coronary artery structures, and protein in urine in induced diabetic rats by a single intraperitoneal injection with the dose of 70mg/kg.BW. streptozotocin(STZ-rats). Garlic-treated STZ-rats(STZ-G) and tolbutamide-treated STZ-rats(STZ-T) were received daily oral feeding of 100 mg/kg.BW.garlic extract and 0.25 g/kg.BW. tolbutamide, respectively. Hypoglycemic activity and insulin effect were compared between these two groups.

The results showed that at all three monitored time points, 8, 16, and 20 weeks following streptozotocin injection, hypoglycemic activity of garlic extract was 74.22, 96.23 and 93.27 percent of activity of tolbutamide, respectively. Concomitantly, the levels of serum insulin were increased up to 37.03, 42.16 and 62.66 percent of tolbutamide effect. Besides, the levels of serum cholesterol and triglycerides in STZ-G rats were lower, whereas the levels of serum HDL were higher than those of STZ-rats. Moreover, garlic has been shown to attenuate the abnormalities of cardiac functions. Systemic blood pressure was significantly decreased, while heart rate, aortic flow rate and coronary flow rate were greater than those of STZ-rats. Left ventricular isotonic contraction values of STZ-rats were higher than those of STZ-rats at 16 and 20 weeks following streptozotocin injection. However garlic extract could not significantly reduced proteinuria at all three monitored time points. Examination of vascular morphology by scanning and transmission electron microscopes demonstrated that the inner surface of coronary artery and arteriole of STZ-G rats were smoother than those of STZ-rats. Moreover, the thickness of arterial wall and capillary basement membrane of STZ-G rats were thinner than those of STZ-rats. The results of this study implied that garlic could be a useful agent for preventing or delaying the diabetic cardiovascular complications.

ภาควิชา..... คณะวิทยาศาสตร์

ลายมือชื่อนิสิต..... สรณทิพย์ สรรพทรัพย์ 1๖๖๖๖๖

สาขาวิชา..... สรีรวิทยา

ลายมือชื่ออาจารย์ที่ปรึกษา..... อ.สุวิทย์ สรรพทรัพย์

ปีการศึกษา..... ๒๕๖๖

ลายมือชื่ออาจารย์ที่ปรึกษาร่วม..... อ.วิภา สรรพทรัพย์

ACKNOWLEDGEMENTS

I wish to express my deepest gratitude to my advisors, Assistant Professor Dr.Suthiluk Patumraj and Professor Vira Kasantikul, for their kind advice, guidance, keen interest and constant encouragement throughout this study.

My appreciation is extended to Police Lieutenant Orasa Vechakarn and Miss Supang Maneesri for their continuous and experienced assistance, sincerity, friendship and encouragement.

I wish to thank the officers of Division of Electron Microscope, Department of Pathology, Faculty of Medicine, Chulalongkorn University for electron microscope processing, and Department of Pharmacology, Faculty of Medicine, Chulalongkorn University for garlic extraction.

Finally, I am extremely grateful to my parent and family for their love and support.

This study was supported by a fund from the graduate school, Chulalongkorn University and Rachadapisek-sompoch Research Fund, Faculty of Medicine, Chulalongkorn University.

CONTENTS

	Page
THAI ABSTRACT	IV
ENGLISH ABSTRACT	V
ACKNOWLEDGEMENTS.....	VI
CONTENTS	VII
LIST OF FIGURES	VIII
LIST OF TABLES.....	XI
ABBREVIATIONS	XIII
CHAPTER	
I. INTRODUCTION AND LITERATURE REVIEWS.....	1
II. RATIONALE.....	9
III. MATERIALS AND METHODS.....	11
IV. RESULTS	26
V. DISCUSSION.....	77
VI. CONCLUSION AND SUGGESTION	86
REFERENCES	87
BIOGRAPHY	98

LIST OF FIGURES

Figures	Page
1. Chemical Reaction of Alliin-Allicin system	6
2. Diagram of Experimental group.....	15
3. Cannulation Procedure for Perfusing The Rat Heart Prior to Isolation.....	18
4. Diagram of Constant Pressure Perfusate System	19
5. Flow Measurement and Recording of Cardiac Contraction.....	20
6. The Section for Scanning Electron Microscope and Transmission Electron Microscope	22
7. Diagram for Monitoring the Vascular Wall Thickness.....	23
8. Diagram for Monitoring the Thickness of Basement Membrane of Capillaries	24
9. Means \pm SD of body weight of controls,STZ-rats and STZ-G	30
10. Means \pm SD of the ratio of heart weight per 100 g.BW. of controls, STZ-rats and STZ-G	32
11. Means \pm SD of blood glucose of controls, STZ-rats, STZ-G and STZ-T.....	34
12. Means \pm SD of serum insulin of controls , STZ-rats, STZ-G and STZ-T	36
13. Means \pm SD of triglycerides of controls, STZ-rats and STZ-G	38
14. Means \pm SD of cholesterol of controls, STZ-rats and STZ-G	40
15. Means \pm SD of high-density lipoprotein of controls, STZ-rats and STZ-G	42
16. Means \pm SD of systolic blood pressure of controls, STZ-rats and STZ-G	44

17. Means \pm SD of diastolic blood pressure of controls, STZ-rats and STZ-G	46
18. Means \pm SD of mean arterial pressure of controls, STZ-rats and STZ-G	48
19. Means \pm SD of heart rate of controls, STZ-rats and STZ-G	50
20. Means \pm SD of aortic flow rate of controls, STZ-rats and STZ-G	52
21. Means \pm SD of coronary flow rate of controls, STZ-rats and STZ-G ...	54
22. Means \pm SD of left ventricular isotonic contraction of controls, STZ-rats and STZ-G	56
23. Means \pm SD of thickness of arterial wall of controls, STZ-rats and STZ-G	58
24. Means \pm SD of thickness of arteriolar wall of controls, STZ-rats and STZ-G	60
25. Means \pm SD of thickness of basement membrane of capillaries of controls, STZ-rats and STZ-G	62
26. Means \pm SD of proteinuria of controls, STZ-rats and STZ-G	64
27. Scanning electron micrograph of intramural coronary artery taken from left ventricle of controls at 20 weeks after the STZ-injection .	65
28. Scanning electron micrograph of intramural coronary artery taken from left ventricle of STZ-rats at 20 weeks after the STZ-injection .	66
29. Scanning electron micrograph of intramural coronary artery taken from left ventricle of STZ-G at 20 weeks after the STZ-injection	67
30. Scanning electron micrograph of intramural coronary arteriole taken from left ventricle of controls at 20 weeks after the STZ-injection .	68
31. Scanning electron micrograph of intramural coronary arteriole taken from left ventricle of STZ-rats at 20 weeks after the STZ-injection	69
32. Scanning electron micrograph of intramural coronary arteriole taken from left ventricle of STZ-G at 20 weeks after the STZ-injection ...	70

33. Transmission electron micrograph of coronary capillary taken (at magnification 6000x) from left ventricle of controls at 20 weeks after the STZ-injection 71
34. Transmission electron micrograph of coronary capillary taken (at magnification 25000x) from left ventricle of controls at 20 weeks after the STZ-injection 72
35. Transmission electron micrograph of coronary capillary taken (at magnification 6000x) from left ventricle of STZ-rats at 20 weeks after the STZ-injection 73
36. Transmission electron micrograph of coronary capillary taken (at magnification 25000x) from left ventricle of STZ-rats at 20 weeks after the STZ-injection 74
37. Transmission electron micrograph of coronary capillary taken (at magnification 6000x) from left ventricle of STZ-G at 20 weeks after the STZ-injection 75
38. Transmission electron micrograph of coronary capillary taken (at magnification 25000x) from left ventricle of STZ-G at 20 weeks after the STZ-injection 76

LIST OF TABLES

Table	Page
1. Means \pm SD of body weight of controls, STZ-rats and STZ-G.....	29
2. Means \pm SD of the ratio of heart weight per 100 g.BW. of controls, STZ-rats and STZ-G	31
3. Means \pm SD of blood glucose of controls, STZ-rats, STZ-G and STZ-T	33
4. Means \pm SD of serum insulin of controls, STZ-rats, STZ-G and STZ-T	35
5. Means \pm SD of triglyceride of controls, STZ-rats and STZ-G	37
6. Means \pm SD of cholesterol of controls, STZ-rats and STZ-G	39
7. Means \pm SD of high-density lipoprotein of controls, STZ-rats and STZ-G	41
8. Means \pm SD of systolic blood pressure of controls, STZ-rats and STZ-G	43
9. Means \pm SD of diastolic blood pressure of controls, STZ-rats and STZ-G	45
10. Means \pm SD of mean arterial pressure of controls, STZ-rats and STZ-G	47
11. Means \pm SD of heart rate of controls, STZ-rats and STZ-G.....	49
12. Means \pm SD of aortic flow rate of controls, STZ-rats and STZ-G	51
13. Means \pm SD of coronary flow rate of controls, STZ-rats and STZ-G	53
14. Means \pm SD of left ventricular isotonic contraction of controls, STZ-rats and STZ-G	55
15. Means \pm SD of thickness of arterial wall of controls, STZ-rats and STZ-G	57

16. Means \pm SD of thickness of arteriolar wall of controls, STZ-rats and STZ-G 59
17. Means \pm SD of thickness of basement membrane of capillary of controls, STZ-rats and STZ-G 61
18. Means \pm SD of proteinuria of controls, STZ-rats and STZ-G 63

ABBREVIATIONS

IDDM	=	insulin-dependent diabetes mellitus
TG	=	triglycerides
VLDL	=	very low-density lipoprotein
LDL	=	low-density lipoprotein
HDL	=	high-density lipoprotein
STZ	=	streptozotocin
STZ-rats	=	rats treated with streptozotocin
STZ-G	=	STZ-rats treated with garlic extract
STZ-T	=	STZ-rats treated with tolbutamide
SEM	=	scanning electron microscope
TEM	=	transmission electron microscope